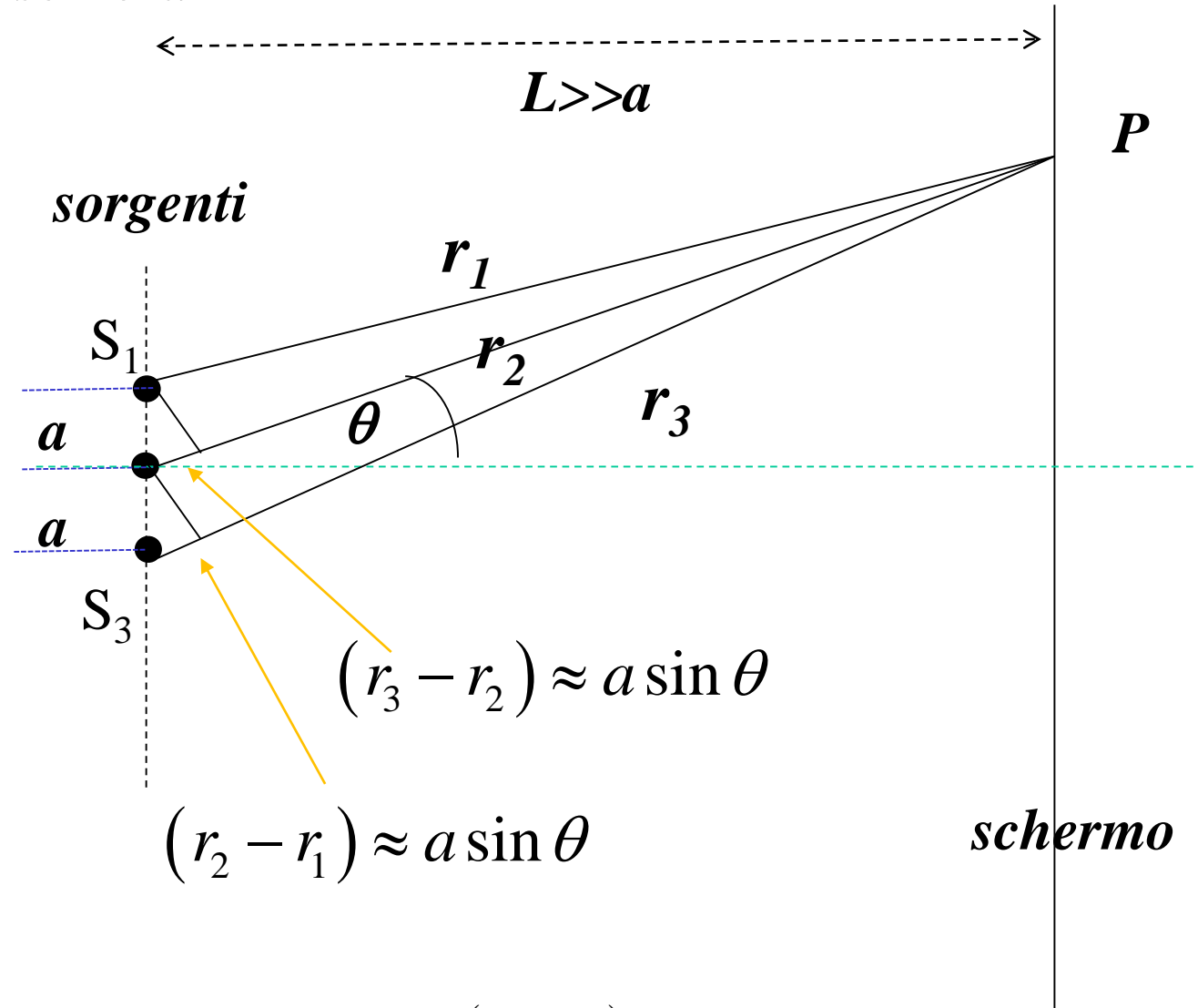


## **FENOMENI INTERFERENZIALI :**

- Interferenza tra onde e.m. prodotte da molte sorgenti coerenti sincrone.
- Interferenza prodotta da una schiera di fenditure rettangolari;

***Interferenza prodotta su uno schermo a grande distanza da 3 sorgenti coerenti sincrone poste in schiera***



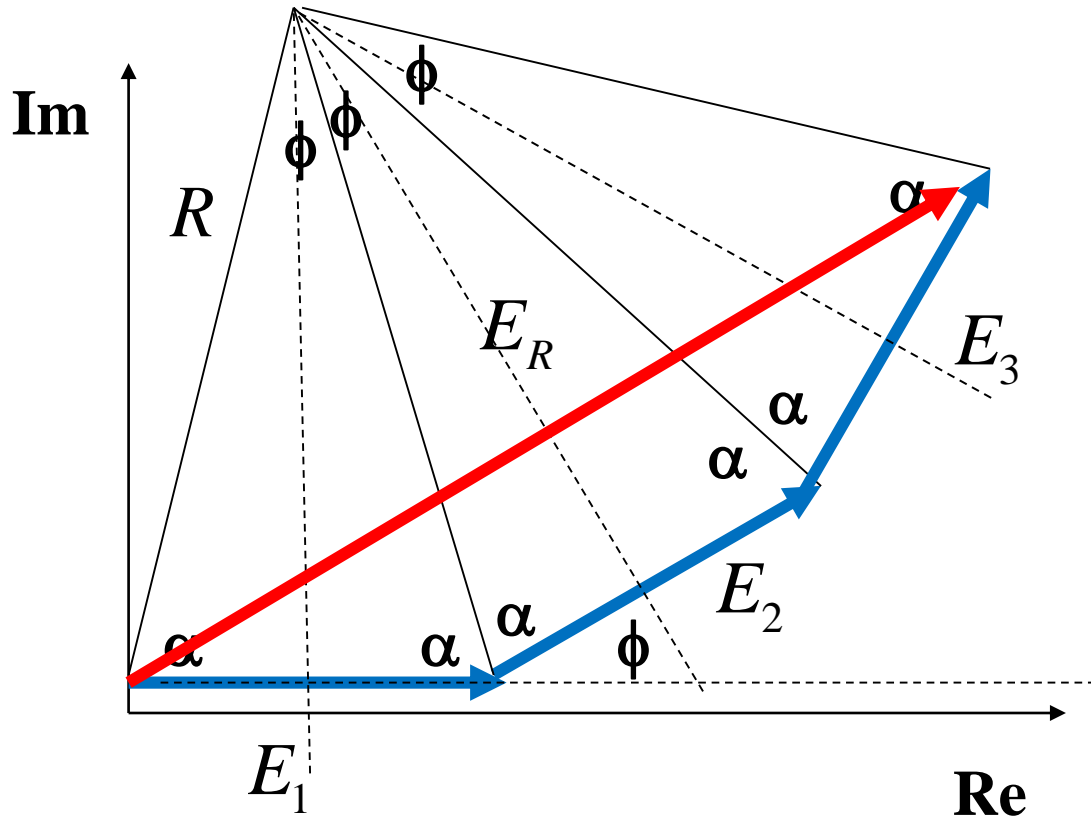
$$E_1(r_1, t) = E_0 e^{i(kr_1 - \omega t)} = E_0 e^{i\Phi_1}$$

$$E_2(r_2, t) = E_0 e^{i(kr_2 - \omega t)} = E_0 e^{i\Phi_2}$$

$$E_3(r_3, t) = E_0 e^{i(kr_3 - \omega t)} = E_0 e^{i\Phi_3}$$

$$\Phi = \Phi_2 - \Phi_1 = k(r_2 - r_1) = \Phi_3 - \Phi_2 = k(r_3 - r_2)$$

Sommiamo le onde in  $P$  utilizzando la notazione complessa.



$$\Phi = ka \sin \theta = \frac{2\pi a \sin \theta}{\lambda}$$

$$E(P, t) = E_1(P, t) + E_2(P, t) + E_3(P, t)$$

$$\begin{aligned} E_R &= 2R \sin \frac{3\Phi}{2} \\ E_0 &= 2R \sin \frac{\Phi}{2} \end{aligned} \quad \longrightarrow \quad \begin{aligned} E_R &= E_0 \frac{\sin \frac{3\Phi}{2}}{\sin \frac{\Phi}{2}} \end{aligned}$$

$$E_R = E_0 \frac{\sin \frac{3\Phi}{2}}{\sin \frac{\Phi}{2}} \longrightarrow E(P, t) = E_R e^{i(\Phi - \omega t)}$$

L'energia in P vale

$$w = \frac{\varepsilon_0 E^2}{2} + \frac{B^2}{2\mu_0} = \varepsilon_0 E^2$$

Tenendo conto della relazione tra  $\mathbf{E}$  e  $\mathbf{B}$  e del significato fisico del coefficiente dell'immaginario del campo complesso

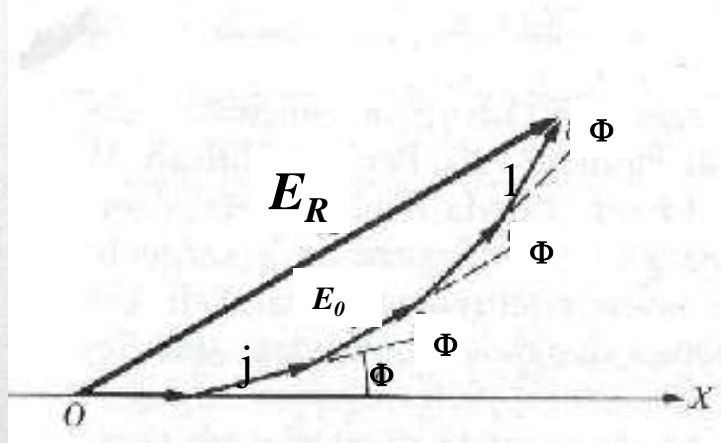
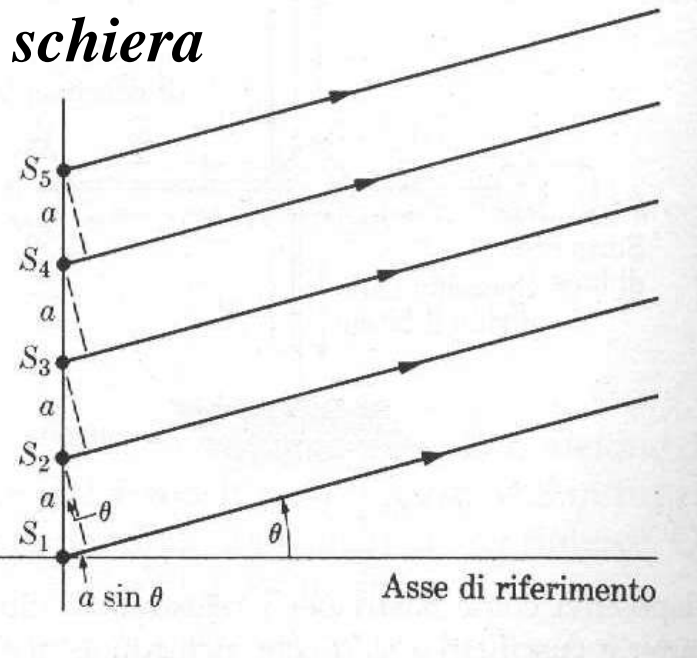
$$w(p, t) = \varepsilon_0 E^2(P, t) = \varepsilon_0 \left[ E_0 \frac{\sin \frac{3\Phi}{2}}{\sin \frac{\Phi}{2}} \right]^2 \sin^2(\Phi - \omega t)$$

Valutando il valore medio sul periodo  $T$  e chiamiamo tale valore intensità  $\mathbf{I}$  dell'onda e.m.

$$\langle w(p, t) \rangle = \frac{1}{T} \int_0^T \varepsilon_0 E^2(P, t) dt = I$$

$$I \propto \left[ E_0 \frac{\sin \frac{3\Phi}{2}}{\sin \frac{\Phi}{2}} \right]^2$$

**Interferenza prodotta su uno schermo a grande distanza da  $N$  sorgenti coerenti sincrone poste in schiera**



Abbiamo  $N$  onde coerenti

$$E_j = E_0 \sin(kr_j - \omega t)$$

$$j = 1, \dots, N$$

$$OS = E_0; \quad \Phi = k(r_{j+1} - r_j)$$

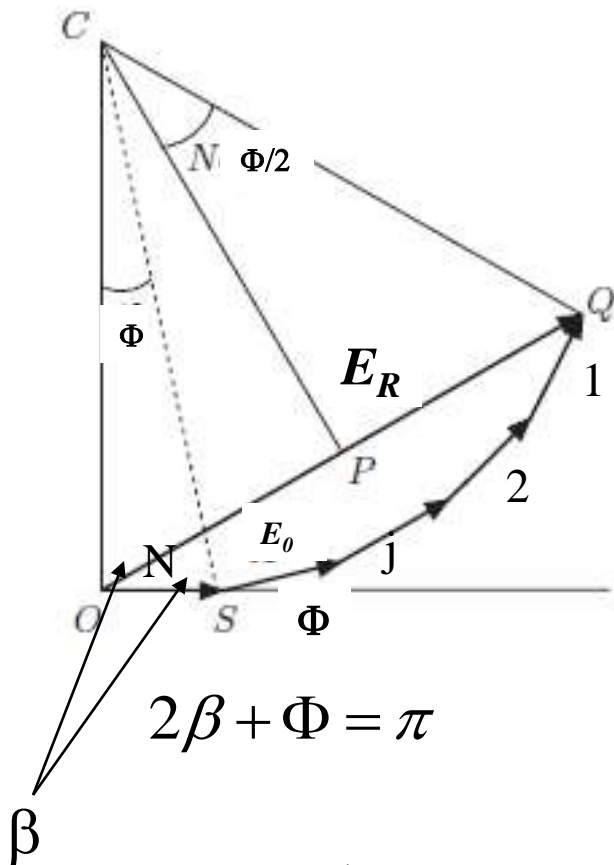
$$j = 1, \dots, N$$

$$\frac{OS}{2} = CO \sin(\Phi / 2)$$

$$\frac{OQ}{2} = CO \sin(N\Phi / 2)$$

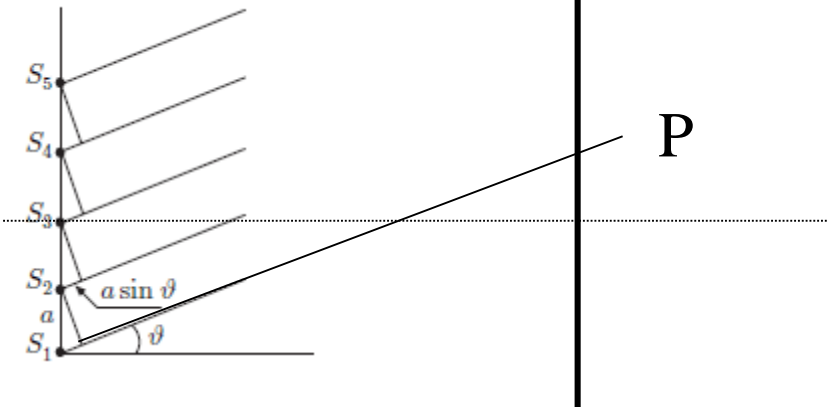
$$\frac{OQ}{OS} = \frac{\sin(N\Phi / 2)}{\sin(\Phi / 2)}$$

$$\text{Ampiezza - del - Campo} = E_R = E_0 \frac{\sin(N\Phi / 2)}{\sin(\Phi / 2)}$$



schermo a grande distanza

schiera di sorgenti



*Intensità – in – P*

$$I(P) \propto E_0^2 \frac{\sin^2(N\Phi/2)}{\sin^2(\Phi/2)}$$

Nel caso in cui tutti i vettori (che rappresentano il campo elettrico associato ad ogni onda) sono allineati, si avrà la **massima ampiezza** risultante possibile, cioè  $E_R = NE_0$ . Questo si ha per  $\Phi/2 = m\pi$  cioè  $\Phi = 2m\pi$

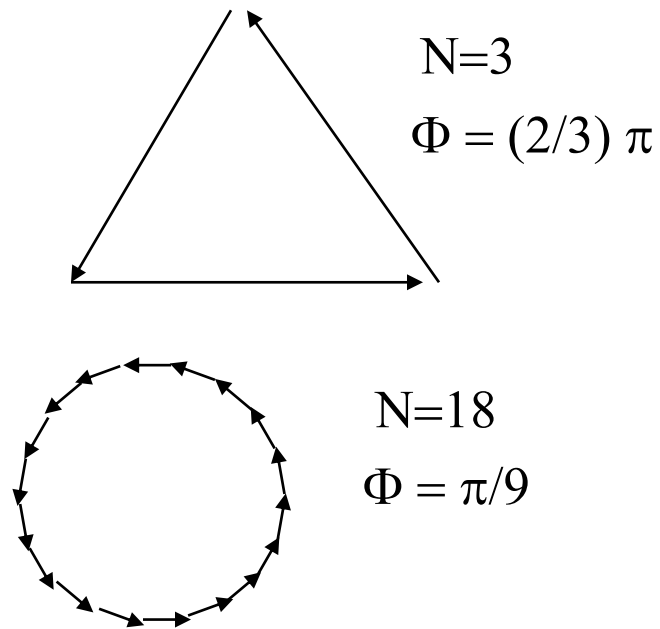
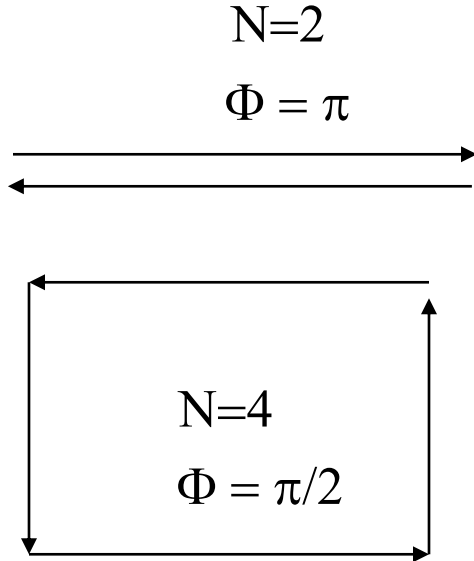
*cioè annullamento del denominatore della funzione  $I(P)$*

$$\frac{\Phi}{2} = \frac{1}{2} \frac{2\pi}{\lambda} a \sin \theta \quad \Rightarrow \quad \sin \theta = \frac{m\lambda}{a}$$

Massimo valore del campo elettrico risultante

$$m = 0, \pm 1, \pm 2, \dots$$

L'intensità totale è:  $I(\text{max princ.}) \propto E_0^2 N^2$



Si avrà **ampiezza nulla** nel caso in cui tutti i vettori formano un poligono chiuso

$E_R=0$  . Questo si ha per  $N\Phi/2=m'\pi \longrightarrow \Phi = 2m'\pi/N$

*cioè annullamento del numeratore della funzione  $I(P)$*

$$\Phi = \frac{2\pi}{\lambda} a \sin \theta \longrightarrow \sin \theta = \frac{m' \lambda}{Na}$$

Minimo valore (nullo) del campo elettrico risultante

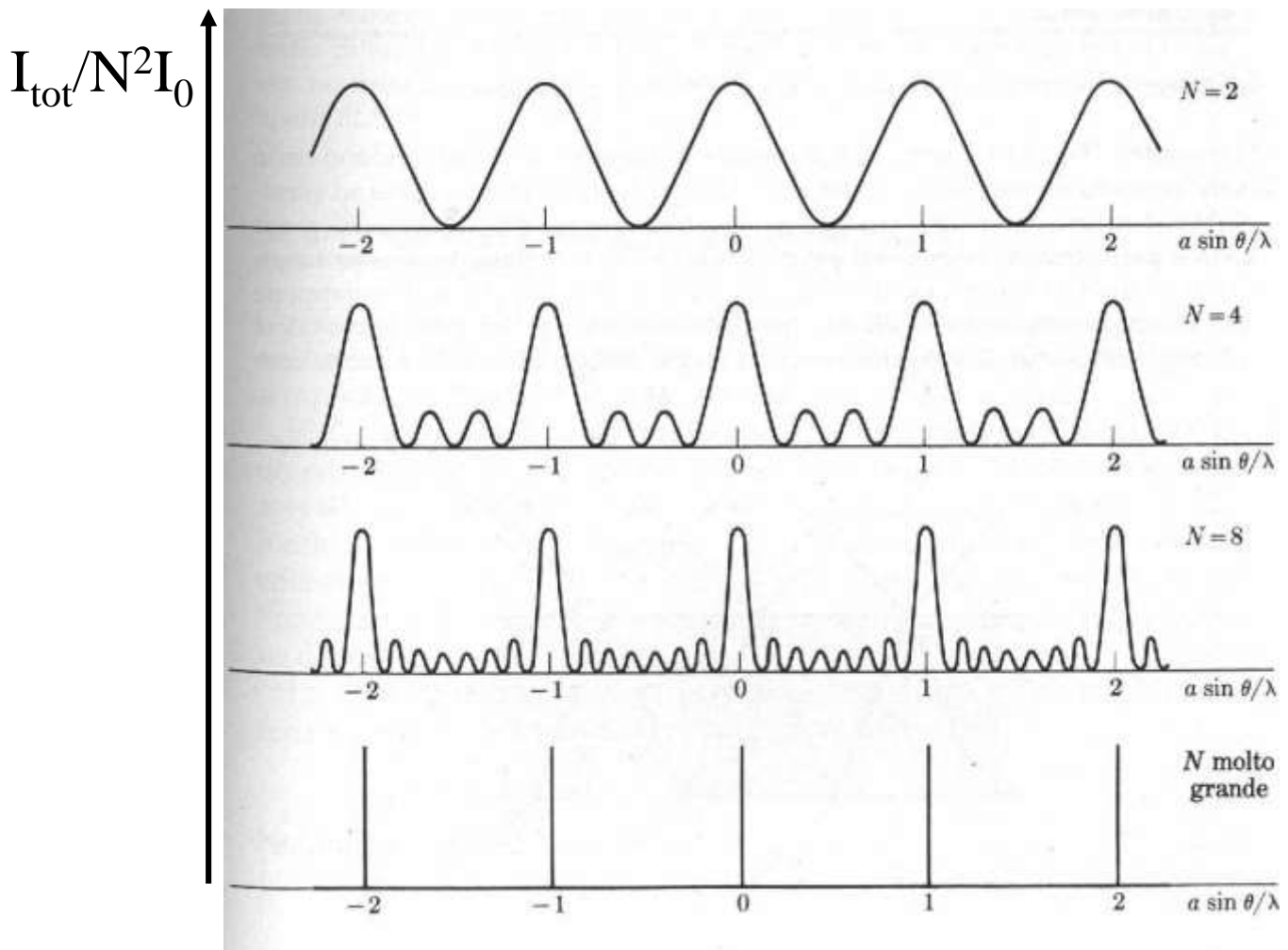
$$m' = 1, 2, \dots, (N-1), (N+1), \dots, (2N-1), (2N+1), \dots$$

L'intensità totale è:  $I(zeri) = 0$

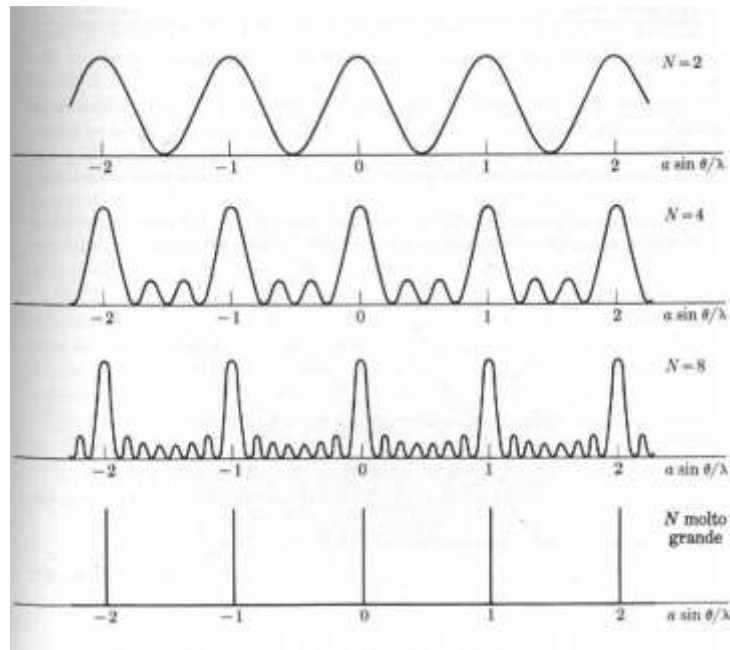
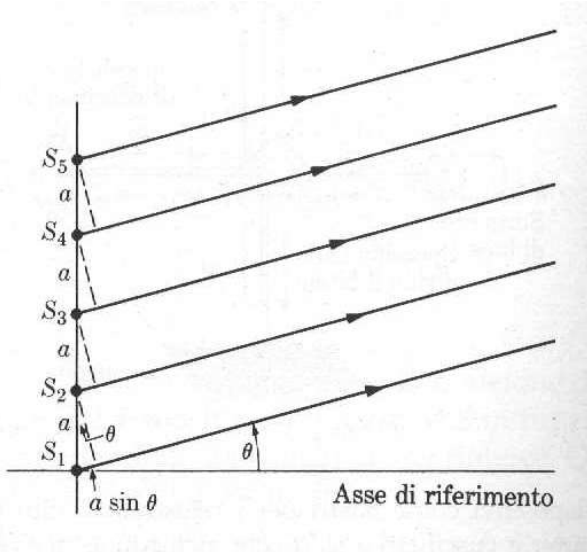
Tra due massimi principali per cui  $\sin \theta_{(\max)} = \frac{m\lambda}{a}$

ci sono (N-1) zeri, per cui  $\sin \theta_{(\min)} = \frac{m'\lambda}{Na}$

tra due minimi ci deve comunque essere un massimo, quindi ci saranno anche (N-2) massimi secondari (di ampiezza esigua) tra i massimi principali.







Riassumendo, se poniamo uno schermo a grande distanza dalle sorgenti osserviamo un serie di strisce luminose e strisce buie

### Strisce buie

$$\Phi = \frac{2\pi}{\lambda} a \sin \theta \longrightarrow \sin \theta = \frac{m' \lambda}{Na}$$

$$m' = 1, 2, \dots, (N-1), (N+1), \dots, (2N-1), (2N+1), \dots$$

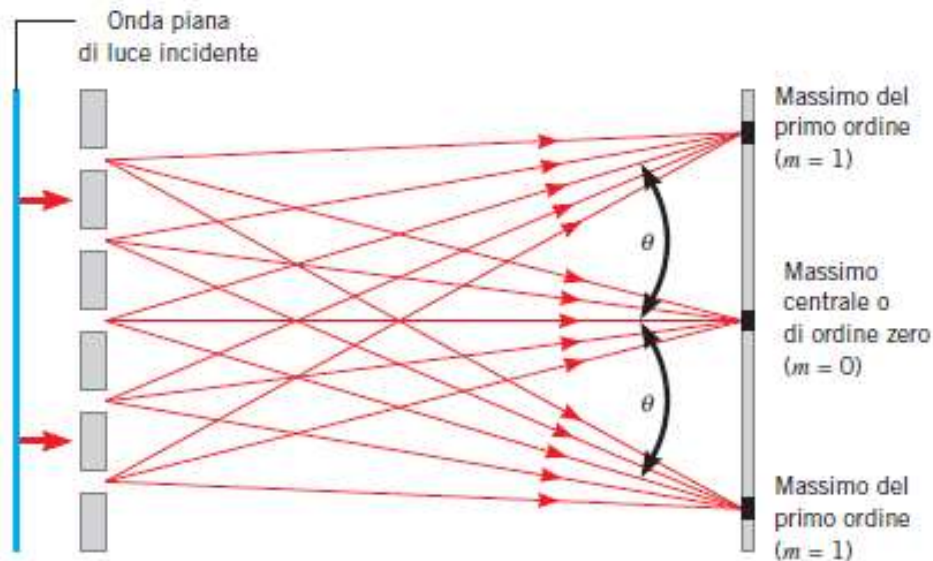
### Strisce chiare

$$\Phi = \frac{2\pi}{\lambda} a \sin \theta \longrightarrow \sin \theta = \frac{m\lambda}{a}$$

$$m = 0, \pm 1, \pm 2, \dots$$

# RETICOLO di INTERFERENZA

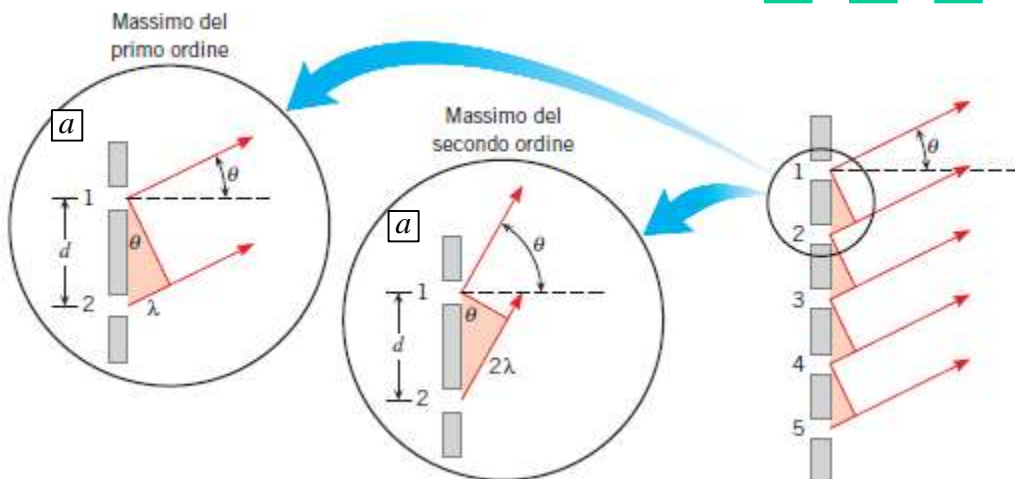
La schiera di sorgenti coerenti può essere costruita, come nell'esperienza di Young, con una schiera di fenditure rettangolari.



$$I(P) \propto E_0^2 \frac{\sin^2\left(\frac{N\pi a \sin \theta}{\lambda}\right)}{\sin^2\left(\frac{\pi a \sin \theta}{\lambda}\right)}$$

*i punti di zero sono situati agli angoli  $\theta$  in cui si annulla il numeratore*

*i massimi principali sono situati agli angoli  $\theta$  in cui si annulla il denominatore*



$$\frac{\pi a \sin \theta}{\lambda} = m\pi$$

+1

**m**

0

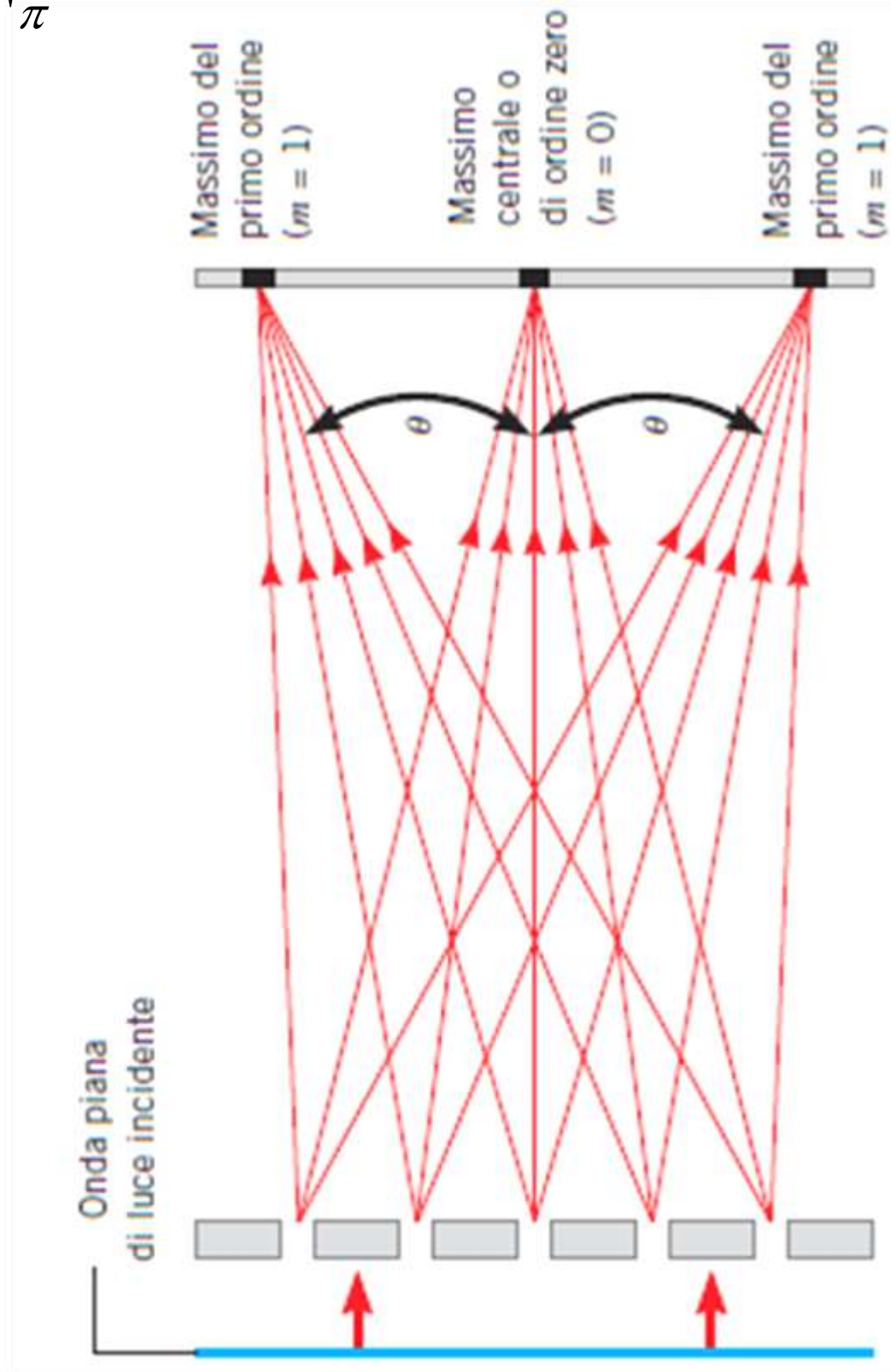
-1

**m'**

$$\frac{N\pi a \sin \theta}{\lambda} = m'\pi$$

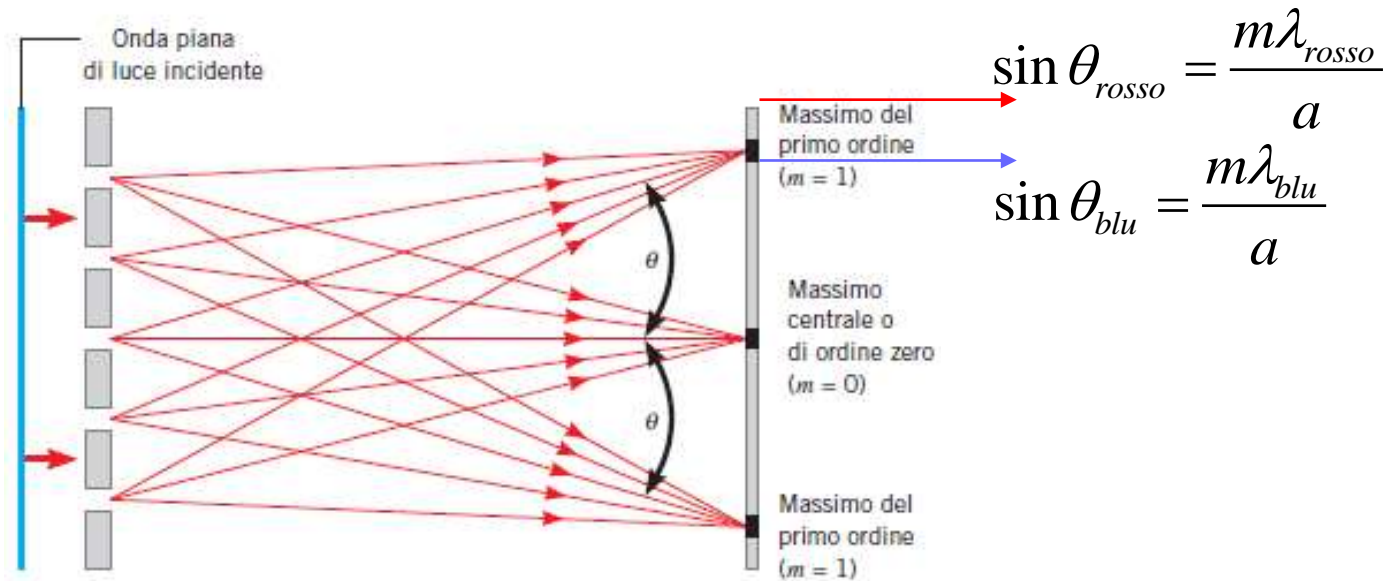
N-1.....1,

-1, ..... -N+1



# RETICOLO di INTERFERENZA

Una schiera di fenditure rettangolari effetto della lunghezza d'onda



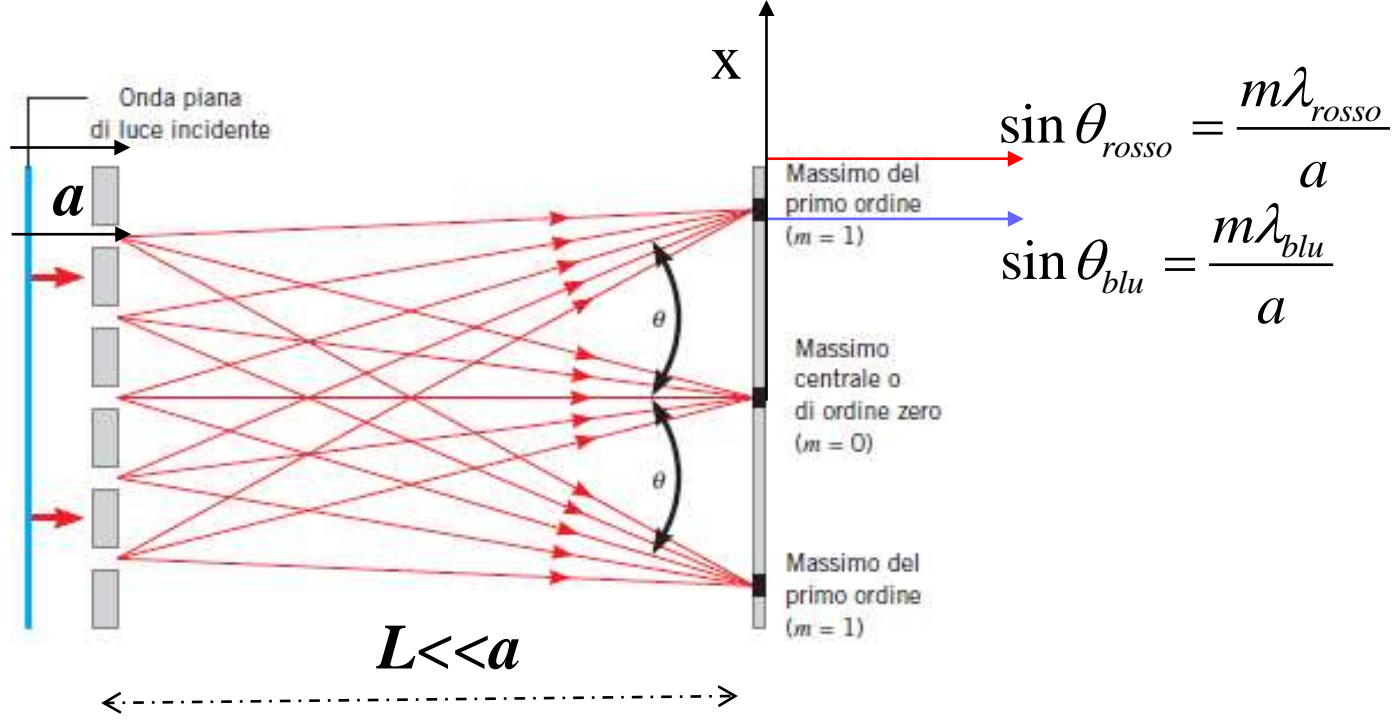
$$I(P) \propto E_0^2 \frac{\sin^2 \left( \frac{N\pi a \sin \theta}{\lambda} \right)}{\sin^2 \left( \frac{\pi a \sin \theta}{\lambda} \right)}$$

I massimi di interferenza sono dati da:  $\frac{\pi a \sin \theta}{\lambda} = m\pi$

Sapendo che  $\lambda_{blu} < \lambda_{rosso}$

$$\sin \theta_{blu} = \frac{m\lambda_{blu}}{a}$$

$$\sin \theta_{rosso} = \frac{m\lambda_{rosso}}{a}$$



I massimi sono visti ad angoli:

$$\frac{\pi a \sin \theta}{\lambda} = m \pi$$

$$\sin \theta = m \frac{\lambda}{a}$$

Se gli angoli  $\theta$  sono piccoli

$$\sin \theta \approx \theta \approx \text{tg} \theta = m \frac{\lambda}{a}$$

$$x \approx L \text{tg} \theta = L m \frac{\lambda}{a}$$